

Поляризация двух близко расположенных металлических сфер во внешнем однородном электрическом поле

© И.Е. Мазец

Физико-технический институт им. А.Ф. Иоффе РАН,
194021 Санкт-Петербург, Россия

(Поступило в Редакцию 17 декабря 1999 г.)

Рассчитан дипольный момент, приобретаемый во внешнем электрическом поле каждой из двух незаряженных проводящих сфер радиуса R , центры которых находятся друг от друга на расстоянии $2l$. Показано, что при $R/l \lesssim 0.8$ влияние высших мультипольных моментов незначительно.

Рассмотрим две одинаковые изолированные незаряженные идеально проводящие сферы радиуса R , помещенные во внешнее однородное электрическое поле \mathbf{E}_0 в вакууме. Центры сфер лежат на оси z и отстоят на расстоянии $2l$ друг от друга. Каждая из сфер приобретает дипольный момент \mathbf{p} , связанный с напряженностью внешнего поля соотношением

$$\mathbf{p} = a\mathbf{E}_0. \quad (1)$$

Вычислим коэффициент пропорциональности a (эффективную поляризуемость). Для изолированной сферы, как известно, эта величина равна кубу радиуса. Наличие на конечных расстояниях других проводников, в частности второй сферы, приводит к отличию от \mathbf{E}_0 однородной составляющей электрического поля в окрестности первой сферы. В случае далеко отстоящих сфер $R \ll l$ существенно лишь их прямое диполь-дипольное взаимодействие. При учете лишь этого взаимодействия эффективная поляризуемость вычисляется элементарно

$$a_{zz} = \frac{R^3}{1 - (R/l)^3/4}, \quad (2)$$

$$a_{xx} = a_{yy} = \frac{R^3}{1 + (R/l)^3/8}. \quad (3)$$

Выражения (2) и (3) справедливы для случаев, когда внешнее поле направлено соответственно параллельно или перпендикулярно оси z . Но в общем случае следует учесть вклады мультипольных моментов высшего порядка. Поле, создаваемое дипольным распределением зарядов на первой сфере, в окрестности второй сферы неоднородно (пространственный масштаб неоднородности порядка l). Вторая сфера приобретает мультипольные моменты высших порядков, которые в свою очередь меняют однородную компоненту поля вблизи первой сферы. Представляется интересным количественно определить их вклад в эффективную поляризуемость, тем более, что аналогичные эффекты в электростатическом взаимодействии близко расположенных заряженных металлических сфер оказываются достаточно заметными [1].

Метод, решения, основанный на разложении по сферическим гармоникам [2], приводит к системе, состоящей из бесконечного числа линейных алгебраических уравнений для мультипольных моментов, которая не может быть решена в замкнутом аналитическом виде. Поэтому область применения подобного метода являются приближенные расчеты поляризации кластеров, состоящих более чем из двух металлических частиц. Случай же двух сфер допускает аналитическое решение в биполярных координатах [3] α, β, ϕ , которые связаны с декартовыми координатами посредством соотношений

$$x = \frac{c \sin \alpha \cos \phi}{\operatorname{ch} \beta - \cos \alpha}, \quad y = \frac{c \sin \alpha \sin \phi}{\operatorname{ch} \beta - \cos \alpha},$$

$$z = \frac{c \cos \alpha}{\operatorname{ch} \beta - \cos \alpha}. \quad (4)$$

Поверхности сфер задаются уравнениями $\beta = \pm\beta_0$, где $\operatorname{ch} \beta_0 = l/R$. Кроме того, $c = (l^2 - R^2)^{1/2}$. Потенциал в пространстве вне сфер представляется в виде суммы потенциала внешнего поля, который равен $-\mathbf{E}_0 \mathbf{r}$, и потенциала φ' , создаваемого распределением заряда на поверхностях сфер. Решение для случая, когда внешнее поле направлено вдоль оси z , имеет вид [3]

$$\varphi' = (2 \operatorname{ch} \beta - 2 \cos \alpha)^{1/2} E_0 c \sum_{n=0}^{\infty} (2n+1-\gamma) \times \exp[-(n+1/2)\beta_0] \frac{\operatorname{sh}[(n+1/2)\beta]}{\operatorname{sh}[(n+1/2)\beta_0]} P_n(\cos \alpha), \quad (5)$$

где $P_n(\cos \alpha)$ — полином Лежандра, и

$$\gamma = F^{(-)}(1, \beta_0) / F^{(-)}(0, \beta_0). \quad (6)$$

Мы вводим обозначения

$$F^{(-)}(q, \beta_0) = \sum_{n=0}^{\infty} \frac{(2n+1)^q \exp[-(n+1/2)\beta_0]}{\operatorname{sh}[(n+1/2)\beta_0]},$$

$$F^{(+)}(q, \beta_0) = \sum_{n=0}^{\infty} \frac{(2n+1)^q \exp[-(n+1/2)\beta_0]}{\operatorname{ch}[(n+1/2)\beta_0]}. \quad (7)$$

Мы вычислили также потенциал, создаваемый сферами во внешнем поле, направленном вдоль оси x . Формула для него имеет вид

$$\varphi' = 2(2 \operatorname{ch} \beta - 2 \cos \alpha)^{1/2} E_0 c \sum_{n=0}^{\infty} \exp[-(n + 1/2)\beta_0] \times \frac{\operatorname{ch}[(n + 1/2)\beta]}{\operatorname{ch}[(n + 1/2)\beta_0]} P_n^1(\cos \alpha) \cos \phi, \quad (8)$$

$P_n^1(\cos \alpha)$ — присоединенный полином. Лежандра первого порядка.

Проанализируем теперь выражение (5) с целью определения направленного вдоль z дипольного момента \mathbf{p} , которым обладает каждая из двух сфер. Непосредственное его вычисление через распределение заряда на поверхности сферы возможно, но громоздко. Гораздо легче установить его из поведения φ' на больших расстояниях. Действительно, при $x = y = 0, z \rightarrow +\infty$ (т.е. при $\alpha = 0, \beta \sim 2c/z \rightarrow 0$) потенциал, создаваемый обеими сферами, должен иметь асимптотику $2p/z^2 \sim \beta^2 p/(2c^2)$. Отсюда с учетом равенства $P_n(0) = 1$ находится величина p и, следовательно, эффективная поляризуемость

$$a_{zz} = c^3 [F^{(-)}(2, \beta_0) - \gamma F^{(-)}(1, \beta_0)]. \quad (9)$$

Аналогичным образом из асимптотики выражения (8) при $\beta = 0, \alpha \sim 2c(x^2 + y^2)^{-1/2} \rightarrow 0$ находится эффективная поляризуемость во внешнем поле, направленном перпендикулярно прямой, соединяющей центры сфер

$$a_{xx} = a_{yy} = \frac{1}{2} c^3 [F^{(+)}(2, \beta_0) - F^{(+)}(0, \beta_0)]. \quad (10)$$

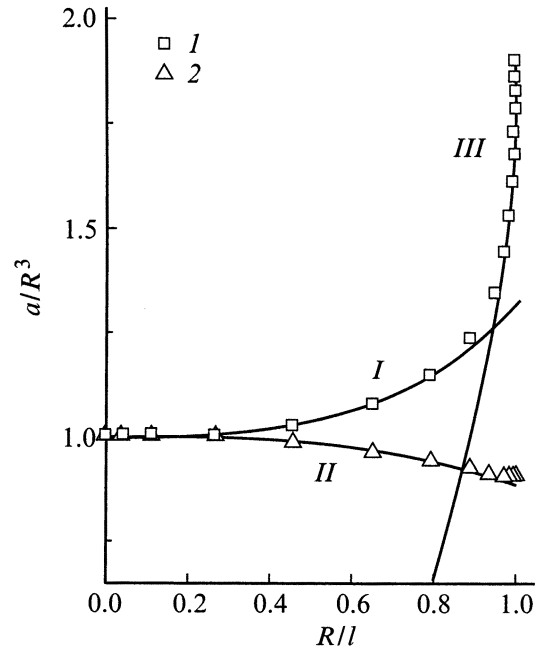
При малых R/l формулы (9), (10) дают приближенно

$$a_{zz} \approx R^3 \left[1 + \frac{1}{4} (R/l)^3 + \frac{1}{16} (R/l)^6 \right],$$

$$a_{xx} \approx R^3 \left[1 - \frac{1}{8} (R/l)^3 + \frac{1}{64} (R/l)^6 \right], \quad (11)$$

что превосходно согласуется с выражениями (2), (3).

На рисунке представлены результаты расчета эффективной поляризуемости по формулам (9), (10) в зависимости от расстояния между центрами сфер. Очевидно, что приближенное выражение (2) хорошо описывает ситуацию вплоть до $R/l \sim 0.8$, а выражение (3) близко к точному на всем промежутке возможных значений параметра R/l . Это согласуется с тем, что описание эффективной диэлектрической проницаемости тонких металлических пленок с помощью формул, учитывающих лишь прямое диполь-дипольное взаимодействие между отдельными островками металла [4] (влияние субстрата также учитывается в модели взаимодействия реальных диполей с диполями-изображениями [5]), адекватно для интерпретации экспериментальных данных в широком диапазоне отношений размера металлических островков



Результаты расчета эффективной поляризуемости по точным формулам для a_{zz} (1) и a_{xx} (2). Показаны также приближенные зависимости (2) (I) и (3) (II), а также асимптотика (12) (III).

к пространственному периоду составленной из них периодической поверхностной структуры [6]. Разумеется, указанный пространственный период должен быть много меньше длины волны падающего излучения, чтобы эффективная диэлектрическая проницаемость могла быть вычислена в квазистатическом приближении.

Исследуем, наконец, поведение решений и для случая очень близко расположенных шаров. В этом случае параметр $\beta_0 = \ln[l/R + (l^2/R^2 - 1)^{1/2}]$ стремится к нулю. Пользуясь выражениями для соответствующих асимптотик функций $F^{(\pm)}(q, \beta_0)$ (способ вычисления этих асимптотик с помощью интегрального преобразования Меллина указан в [3]; заметим, что приведенный там результат для $F^{(-)}(1, \beta_0)$ содержит арифметическую ошибку), которые выписаны в Приложении, можно найти следующие приближенные выражения для эффективной поляризуемости каждой из двух сфер во внешнем поле, как параллельном

$$a_{zz} \approx R^3 \left[2\zeta(3) - \frac{\zeta(2)^2}{C + \ln[2/(l^2/R^2 - 1)^{-1/2}]} \right], \quad (12)$$

так и перпендикулярном оси z

$$a_{xx} \approx R^2 \left[\frac{3\zeta(3)}{4} - \frac{\ln 2}{2} (l^2/R^2 - 1) \right]. \quad (13)$$

Здесь $\zeta(s)$ — дзета-функция Римана, $C = 0.577\dots$ — постоянная Эйлера. В то время как для внешнего поля, перпендикулярного оси z , эффективная поляризуемость при сколь угодно близком расположении сфер менее чем на два процента отличается от значения,

которое дается приближенной формулой (3), в случае поля, параллельного z , эффективная поляризуемость, оставаясь конечной, имеет особенность в производной по R/L . Но участок, где a_{zz} резко меняется, невелик. Уже при $R/l \approx 0.95$ значения a_{zz} , вычисленные по формулам (12) и (2), сравниваются. При дальнейшем увеличении расстояния между сферами приближение, учитывающее только прямое диполь-дипольное взаимодействие, работает все лучше, а начиная с $R/l \approx 0.80$ его отличие от точного результата становится менее 1%. Малость вклада в эффективную поляризуемость непрямого включающего наведения мультиполей высшего порядка на соседней сфере взаимодействия является, на наш взгляд, основным качественным результатом, следующим из полученного в настоящей работе точного решения электростатической задачи.

Приложение

Асимптотики функций (7) при стремящемся к нулю аргументе β_0

$$F^{(-)}(0, \beta_0) \sim \frac{1}{\beta_0} [C + \ln(2/\beta_0)] + \frac{\beta_0}{72},$$

$$F^{(-)}(1, \beta_0) \sim \frac{\zeta(2)}{\beta_0^2} - \frac{1}{12},$$

$$F^{(-)}(2, \beta_0) \sim \frac{2\zeta(3)}{\beta_0^3} + \frac{1}{6\beta_0},$$

$$F^{(+)}(0, \beta_0) \sim \frac{\ln 2}{\beta_0},$$

$$F^{(+)}(1, \beta_0) \sim \frac{\zeta(2)}{2\beta_0^2} + \frac{1}{12},$$

$$F^{(+)}(2, \beta_0) \sim \frac{3\zeta(3)}{2\beta_0^3}.$$

Список литературы

- [1] Саранин В.А. // УФН. 1999. Т. 169. № 4. С. 453–458.
- [2] Gérardy J.M., Ausloos M. // Phys. Rev. B. 1980. Vol. 22. N 10. P. 4950–4959.
- [3] Бухгольц Г. Расчет электрических и магнитных полей. М.: ИЛ, 1961.
- [4] Yamaguchi T., Yoshida S., Kinbara A. // Thin Solid Films. 1973. Vol. 18. N 1. P. 63–70.
- [5] Yamaguchi T., Yoshida S., Kinbara A. // Thin Solid Films. 1974. Vol. 21. N 1. P. 173–187.
- [6] Niklasson G.A., Graignead H.G. // Thin Solid Films. 1985. Vol. 125. N 1/2. P. 165–170.